

# 杜氏藻与大肠杆菌跨界融合初探<sup>①</sup>

刘广发 楼士林 李庆顺 赖瑞卿

(厦门大学生物学系, 361005)

收稿日期 1991年10月14日

关键词 杜氏藻, 大肠杆菌, 融合

**提要** 以链霉蛋白酶制得了杜氏藻(嗜盐单胞绿藻)的原生质体。采用聚乙二醇(PEG)-钙离子法将它们与大肠杆菌(含氯霉素乙酰转移酶基因质粒)的球1,20,1状体进行融合。“融合子”酷似杜氏藻。它们对氯霉素抗性的显著提高寓示了大肠杆菌的质粒已转移到“融合子”细胞中;而且,“融合子”的蛋白质组分与杜氏藻和大肠杆菌相比已发生了较明显的变化。

杜氏藻(*Dunaliella* sp.)为真核单胞绿藻,生活于海水或盐湖中,因而国内常称之为盐藻。这些藻生长于高盐度的环境中时,能在胞内合成并积累大量的甘油<sup>[6]</sup>。此外,该藻富含蛋白质,有些种尚能产生占藻干重10%以上的β-胡萝卜素,所以国内外不少实验室、养殖场已大量培养杜氏藻当饵料或用于提取上述物质。<sup>[1,9]</sup>由于杜氏藻天然地不具纤维素细胞壁,仅由蛋白质-多糖组成其胞膜外的柔软包被<sup>[4]</sup>,因而经过适当的处理,它们可能成为植物界中接受外来遗传信息的良好受体。本研究即是以细胞融合为手段导入外源基因的一次尝试。

## 1 材料与方法

### 1.1 生物材料

杜氏藻,代号C<sub>36</sub>,青岛海洋大学微藻研究室提供,以文献[5]的培养基培养。

大肠杆菌(*E. coli* P<sub>35</sub>S-CAT'),代号P<sub>35</sub>,原种由美国Cornell大学引进,其中的质粒带有氯霉素乙酰转移酶基因;培养于CB培养基。上述两种培养基作固体培养时都添加1.5%的琼脂粉。

### 1.2 测定对氯霉素(C<sub>m</sub>)的抗性

配制含系列C<sub>m</sub>浓度的杜氏藻固体培养基,表面点接C<sub>36</sub>,25℃,3 000 lx培养14d后观测藻落生长情况。

① 本文工作得到国家自然科学基金的资助;本校电镜室倪子锦,吴乔等在电镜样品的制备与观察上给予大力支持,一并致谢。

$P_{35}$  经活化后接于液体培养基中, 37℃, 120r/min 培养至  $OD_{600}$  达 0.6~0.7, 加  $C_m$  达终浓度  $250 \times 10^{-6}$ , 继续培养过夜。分别于加  $C_m$  前及培养过夜后取样, 接种于含各种  $C_m$  浓度的固体培养基上, 37℃ 培养 48h, 观测菌落生长情况。

### 1.3 原生质体及球状体的制备

参照文献[4]的方法, 改用 0.5mol/L 山梨醇和 5mmol/L HEPES, pH7.5 为缓冲液, 以 400μg/ml 链霉蛋白酶 26℃ 处理杜氏藻 1h, 不时轻轻摆动。按文献[2]进行电镜样品的制备、观察。

在长颈漏斗的下端套接乳胶管, 末端夹紧, 注满杜氏藻培养液。用黑纸密封漏斗下段及乳胶管。酶处理后的  $C_{36}$  藻悬液经离心洗涤后, 移入该漏斗中。在暗房中以 60W 白炽灯从距漏斗 80cm 处侧面照光 4h 后, 用穿刺法从乳胶管末段取样。观测鞭毛脱落的原生质体的百分数。

把纯化的  $C_{36}$  原生质体移入原培养液, 25℃ 2 000 lx 培养 24h 后计算已长出双鞭毛的杜氏藻的百分数。

参照文献[7]的方法制备  $P_{35}$  的球状体, 保存于高渗缓冲液中, 置 4℃, 12h 内使用。

### 1.4 融合与分析

吸取  $C_{36}$  原生质体及  $P_{35}$  球状体, 使二者比例约为 1:1~500, 采用 PEG-钙离子法<sup>[3,8]</sup>进行融合处理, 取样进行光学及电子显微镜观察。以杜氏藻培养液进行洗涤。弱光(800~1 000 lx)培养 48h 后离心, 将沉淀物分别接种于含系列  $C_m$  的固体杜氏藻培养基上, 3 000 lx 培养 14d 后观测结果。

上述各项工作都在无菌条件下进行。

“融合子”的蛋白电泳分析将中选“融合子”挑出, 和  $C_{36}$  同时分别扩大培养。离心, 用 0.5mol/L 蔗糖洗涤二次。将藻沉淀悬浮于 0.1mol/L Tris-HCl, pH7.8 的缓冲液中。冰浴中用超声波破碎, 再置 30℃ 水浴浸提 30min, 离心得蛋白粗提液。分别加入 SDS 及 β-巯基乙醇至终浓度 0.5% 和 1%, 混匀, 置 45℃ 水浴 1h。电流 20mA, 电压 40~60V 进行 SDS-聚丙烯酰胺凝胶电泳。用美国产 DU-8B 型紫外可见光分光光度计对电泳胶板进行扫描, 比较它们蛋白组成的异同。

## 2 结果与分析

### 2.1 杜氏藻( $C_{36}$ )和大肠杆菌( $P_{35}$ )对 $C_m$ 的抗性

对  $C_m$  的抗性变化是  $C_{36}$  和  $P_{35}$  融合的选择标记, 它们的原初抗性如表 1 所示。

表 1 杜氏藻和大肠杆菌对氯霉素的抗性

Tab. 1 The resistance to chloramphenicol in *Dunaliella reircei* and *E. coli*( $P_{35}S-CAT$ )

种名		氯霉素浓度( $\times 10^{-6}$ )							
		0	50	60	70	80	100	150	200
<i>D. reircei</i>		++++	++	+	+	-	-	/	/
<i>E. coli</i>	$C_m$ 诱导的	++++	++++	/	/	/	+++	+++	++
	未诱导的	++++	+++	/	/	/	++	+	+

注: +: 各种程度的生长; -: 不生长。

由表 1 可见,  $C_{36}$  的致死浓度小于  $80 \times 10^{-6}$  的  $C_m$ , 而  $P_{35}$  由于内含质粒上带有氯霉素乙酰转移酶基因, 它们对  $C_m$  的抗性可高达  $200 \times 10^{-6}$  以上, 这就为  $P_{35}$  中的质粒是否已引进  $C_{36}$  并在其中表达提供了可检测的方便手段。

### 2.2 杜氏藻原生质体的制备、纯化及再生

经前述酶处理后，在光学显微镜下可见到约 85% 的藻细胞失去了双鞭毛，呈圆至椭圆形状（未示出）。经电镜检查，如图 1 所示，这些细胞的绒毛状糖蛋白外几乎被除净，成了质膜裸露的原生质体。“漏斗单侧照光法”诱导后，获得了纯度为 98% 的 C<sub>36</sub>原生质体。这些原生质体的 24h 再生率达 88%。

### 2.3 C<sub>36</sub>原生质体与 P<sub>35</sub>球状体的融合观察

经上述融合处理，在光学显微镜下可以清楚地看到 C<sub>36</sub>之间，P<sub>35</sub>之间以及 C<sub>36</sub>与 1 至数个 P<sub>35</sub>紧密靠拢在一起。由于二者间的大小差别明显，藻菌间的融合易于明辨。整个融合过程持续 0.5~2h。

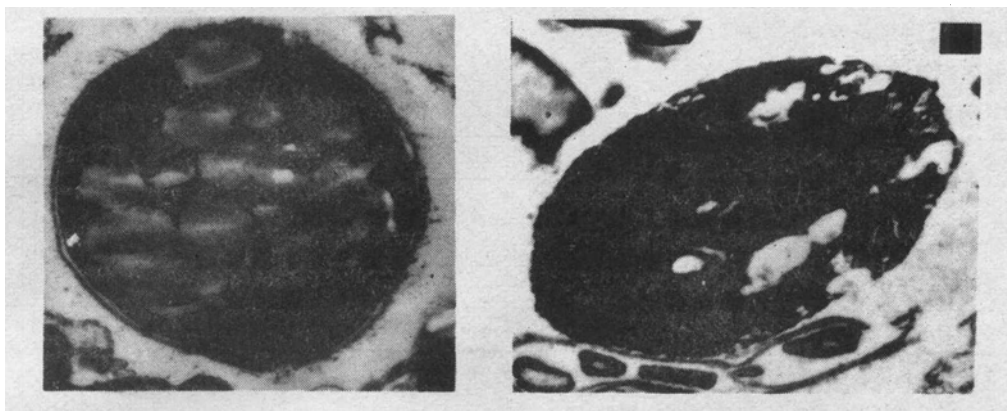


图 1 链霉蛋白酶处理前后 D. peircei 细胞外被的变化情况 ( $\times 14.000$ )

左：D. peircei 的横切面，(未酶解)，细胞外被密布由糖蛋白组成的纤缘。

右：D. peircei 完整的原生质体，细胞的纤缘状包被已被完全除净。

Fig. 1 The change of cell coat of D. peircei before and after pronase inducing. ( $\times 14.000$ )

Left: A transection of D. peircei, with the cell coat imbued with fibres of glycoprotein.

Right: A protoplast of D. peircei, note that the fibres of cell coat had been removed clearly after pronase inducing.

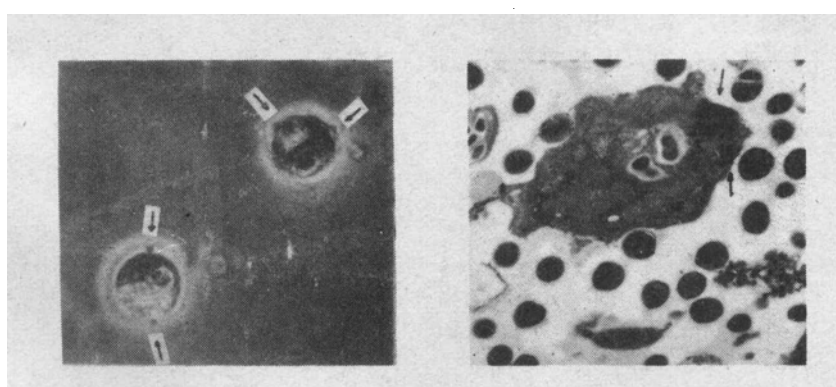


图 2 杜氏藻原生质体与大肠杆菌球状体的融合

左图光学显微照片 ( $\times 1000$ )，数个大肠杆菌球状体（箭头指处）与杜氏藻原生质体紧紧贴合。

右图电镜照片 ( $\times 7500$ )，两个大肠杆菌球状体（箭头指处）已被吞入杜氏藻原生质体中。

Fig. 2 Fusion between the protoplast of D. peircei and the spheroplasts of E. coli

Left: light micrograph, some spheroplasts of E. coli (arrowed) were adhered to D. peircei ( $\times 1000$ ).

Right: electron micrograph, two of the spheroplasts of E. coli (arrowed) had been induced into D. peircei ( $\times 7500$ ).

电子显微镜把上述融合过程详细地展现出来。在 PEG 的介导下,  $P_{35}$  球状体充分靠近  $C_{36}$  原生质体, 两者的质膜接触后, 随着  $C_{36}$  质膜的内陷, 渐渐把  $P_{35}$  导入胞内。这种现象可以发生在  $C_{36}$  原生质体的各个位点。估计发生于细胞前端的内导作用其成功的可能性较大, 因为杜氏藻的细胞与细胞核都集中在该区域, 细胞的后端是一较大的杯状叶绿体。

#### 2.4 “融合子”某些生物学性质分析

2.4.1 “融合子”的  $C_m$  抗性分析 经融合处理后, 融合液在  $C_m$  浓度高达  $150 \times 10^{-6}$  的选择培养基上还能长出少数绿色藻落。将这些藻转接于液体培养基, 经镜检它们的外形发现与原  $C_{36}$  没有重大区别。考虑到制备原生质体和球状体及融合过程中使用的药品繁多, 因此设计了表 2 的 3 种对照以考察诸因素对本实验的影响。

表 2 融合子对氯霉素的抗性

Tab. 2 There sistance to  $C_m$  in fusants

氯霉素浓度 ( $\times 10^{-6}$ )	0	60	80	100	120	150	180
对照	$C_1$	++++	+	-	-	-	-
	$C_2$	++	+	-	-	-	-
	$C_3$	++	+	-	-	-	-
融合子	++	++	++	+	+	+	-

$C_1$ : 未经任何处理的杜氏藻

$C_2$ : 杜氏藻与大肠杆菌都未经酶处理, 以此进行的“拟融合”

$C_3$ : 杜氏藻原生质体经融合的各个步骤处理, 唯独没加入大肠杆菌球状体

+: 各种程度的生长

-: 不生长

由表 2 可知, 3 种对照都只能在  $C_m$  为 0 和  $60 \times 10^{-6}$  的培养基上生长, 可见外因对本实验的影响甚小。因此可以认为, 融合子对  $C_m$  抗性的成倍提高是由于  $P_{35}$  球状所携带的氯霉素乙酰转移酶基因通过融合已转移到真核的  $C_{36}$  细胞中, 且得到了一定的表达。

#### 2.4.2 $C_{36}$ 与“融合子”蛋白质电泳图谱比较

由于“融合子”外观酷似  $C_{36}$ , 因此对它们的蛋白组成进行了电泳分析。

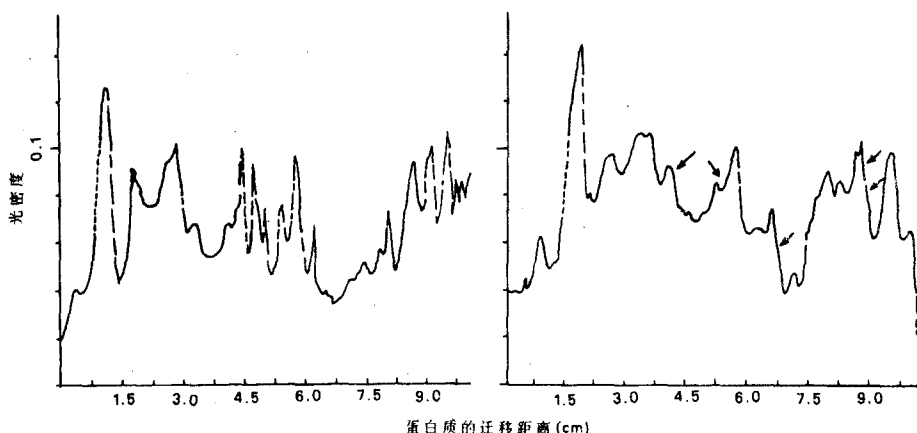


图 3 蛋白质电泳的扫描图谱

左: 杜氏藻 (*D. peircei*); 右: 融合子

Fig. 3 A comparison of scanning proteins electrophero gram between *D. peircei* (left) and fusant (right)

从图 3 的图谱对照看出,  $C_{36}$  与“融合子”的主要蛋白组成是一致的, 因而它们在形态上没有很大的区别。但“融合子”的蛋白电泳图谱至少比  $C_{36}$  多了 5 个吸收峰(箭头指处); 同时  $C_{36}$  的某些吸收峰在“融合子”中消失了。上述结果进一步证明, 杜氏藻与大肠杆菌跨界间的融合确已发生, 大肠杆菌的少数基因组已嵌入到杜氏藻的单倍性染色体中。该“融合子”经 1 年多 20 多次的传代培养, 它们的遗传性质已较稳定。

### 3 讨论

我们的工作首次获得了杜氏藻的原生质体, 估计制取同属其他杜氏藻的原生质体也是可以做到的。本工作为该属绿藻的遗传学研究创造了有利的条件。

在已有的 9 种(株)杜氏藻中, *D. peircei* 的核酸内的酶活性最低, 以紫外线对其进行诱变亦行之有效(未发表), 因此本文选择它作为外源基因的受体。虽然从“融合子”对  $C_m$  抗性之高可推测 *E. coli* 的质粒已转入杜氏藻中, 但遗憾的是未能从“融合子”中提取到该质粒, 它们对  $C_m$  的抗性随着传代也逐次降低。估计该质粒虽然能被引入杜氏藻并在其中部分表达, 但难以复制。随着藻细胞的分裂、增殖, 该质粒在每个藻细胞中的拷贝数直线下降, 最终难以检测到。

图 3 所示的“融合子”比  $C_{36}$  多出的 5 条带中, 至少有 2~3 条可以在  $P_{35}$  的蛋白电泳图谱(未示出)中找到对应的吸收峰, 即它们可能来自  $P_{35}$ 。同理推测,  $P_{35}$  的某些 DNA 电段插入到  $C_{36}$  的染色体组的时候, 可能使  $C_{36}$  的一些为较次要的蛋白质(如糖蛋白外被)编码的基因被插入失活, “融合子”也就比原来的  $C_{36}$  少了几个蛋白吸收峰。

最后, 在图 2 的电镜照片中, 杜氏藻实际上是把比它小得多的大肠杆菌整个吞入细胞内的。大肠杆菌能否在杜氏藻中存活? 能否复制它自己? 正如线粒体的“内共生学说”那样, 这是一个令人感兴趣的问题。

### 参考文献

- [1] 赵学武, 1986. 海洋药物 3: 48~53.
- [2] 汪德耀主编, 1981. 细胞生物学实验指导. 人民教育出版社, 261~297.
- [3] 李向辉, 1988. 植物遗传操作技术. 科学出版社, 177~194.
- [4] Chardard R., 1987. *Cryptogamie Algologie*, 8(3): 173-189.
- [5] Ben-Amotz A. et al., 1974. *Plant Physiol.*, 53: 628-631.
- [6] Ginzburg M., 1987. *Advances in Botanical Research*, 14: 93-183.
- [7] Rozanne M. et al., 1983. *Methods in Enzymology*, Academic Press, New York, 101: 402.
- [8] Gleba Y. Y. et al., 1984. *Protoplast Fusion*. Springer-Verlag, Berlin Heidelberg, 20-27.
- [9] Ben-Amotz A. et al., 1982. *Biosaline Research*, Plenum Press, 207-214.

# A RESEARCH ON INTERKINGDOM PROTOPLAST FUSION BETWEEN GREEN ALGA *DUNALIELLA* AND *E. COLI*

Liu Guangfa, Lou Shilin, Li Qingshun and Lai Ruiqing

(*Biology Department of Xiamen University, 361005*)

Received: Oct. 14, 1991

Key Words: *Dunaliella peircei E. coli*, Fusion

## Abstract

True protoplasts of the halophilic green alga *Dunaliella peircei* proven by electron micrograph were induced by treatment with pronase. They were fused with the spheroplasts of *E. coli* harboring P<sub>35</sub>S—CAT plasmids by polyethylene glycol(PEG) and calcium cations and then allowed to regenerate on selection media. Some *Dunaliella*-like clones were isolated from the media with acquired resistance to chloramphenicol appears to be the result of a genetic transfer from the plasmids harbored in *E. coli*. Moreover the composition of proteins extracted from the fusant were fairly different from either *D. peircei* or *E. coli*.